

**Опарин Виктор Николаевич**  
член-корреспондент РАН,  
доктор физико-математических наук,  
профессор, заведующий отделом  
экспериментальной геомеханики,  
Институт горного дела СО РАН,  
630091, Новосибирск, Красный проспект, д. 54,  
e-mail: [oparin@misd.nsc.ru](mailto:oparin@misd.nsc.ru)

**Усольцева Ольга Михайловна**  
кандидат физико-математических наук,  
старший научный сотрудник,  
Институт горного дела СО РАН,  
e-mail: [usoltseva57@mail.ru](mailto:usoltseva57@mail.ru)

**Цой Павел Александрович**  
кандидат физико-математических наук,  
научный сотрудник,  
Институт горного дела СО РАН,  
e-mail: [paveltsoy@mail.ru](mailto:paveltsoy@mail.ru)

**Семенов Владимир Николаевич**  
главный специалист,  
Институт горного дела СО РАН,  
e-mail: [centre@misd.nsc.ru](mailto:centre@misd.nsc.ru)

## ОБ ЭНЕРГЕТИЧЕСКОМ ПОДХОДЕ К АНАЛИЗУ СЛОЖНЫХ ДЕФОРМАЦИОННО-ВОЛНОВЫХ ПРОЦЕССОВ В ГЕОМАТЕРИАЛАХ СО СТРУКТУРОЙ ПОД НАГРУЖЕНИЕМ ДО РАЗРУШЕНИЯ\*

### Аннотация:

Экспериментально на образцах из горных пород и искусственных геоматериалов, обладающих структурой, с помощью метода спекл-фотографий детально исследованы особенности эволюции напряженно-деформированного состояния на микроуровне, установлен эффект возникновения внутри образцов низкочастотных процессов микро-деформирования при определенном уровне напряжений. Для оценки деформационно-волнового поведения геоматериалов применен энергетический подход, в основе которого лежит сканирующая функция, являющаяся аналогом понятию «центра масс» в классической механике. Развиваемое направление экспериментальных исследований относится к физико-механическим основам формирования очаговых зон катастрофических событий.

**Ключевые слова:** массив горных пород, блочно-иерархическое строение, лабораторный эксперимент, спекл-метод, микродеформации, деформационно-волновые процессы

**Oparin Victor N.**  
corresponding member of RAS,  
doctor of Physical-Mathematical Sciences,  
head of Division, Institute of Mining SB RAS,  
Novosibirsk, 630091, Krasny prospect, 54  
e-mail: [oparin@misd.nsc.ru](mailto:oparin@misd.nsc.ru)

**Usoltseva Olga M.**  
candidate of Physical-Mathematical Sciences,  
senior Researcher, Institute of Mining SB RAS  
e-mail: [usoltseva57@mail.ru](mailto:usoltseva57@mail.ru)

**Tsoi Pavel A.**  
candidate of Physical-Mathematical Sciences,  
scientific Associate, Institute of Mining SB RAS  
e-mail: [paveltsoy@mail.ru](mailto:paveltsoy@mail.ru)

**Semenov Vladimir N.**  
Main Specialist, Institute of Mining SB RAS  
e-mail: [centre@misd.nsc.ru](mailto:centre@misd.nsc.ru)

## ENERGY APPROACH TO THE ANALYSIS OF COMPLEX DEFORMATION-WAVE PROCESSES IN STRUCTURED GEOMATERIAL UNDER LOADING BEFORE DESTRUCTION

### Abstract:

The aim of this study was to analyze distribution and development of stress-stress state in structured rock specimens subject to uniaxial and biaxial loading to failure using digital speckle correlation method. Within the experimental analysis of wave processes in the block-hierarchy structure of geomedia (uniaxial and biaxial compression and shearing of prismatic geomaterial specimens), the authors revealed the fact of initiation of low-frequency micro-deformation processes under slow (quasi-static) disturbances. The estimation of the deformation-wave behavior of geomaterials as the “summed” contributions made by elements of the scanned surfaces with different-oriented (in-phase and anti-phase) oscillations has been performed using the energy approach that is based on the scanning function  $R$ , analogous to the “center of mass” in the classical mechanics.

**Keywords:** rock mass, hierarchical block structure, laboratory experiment, speckle-method, microstrains, deformation-wave processes

\* Работа выполнена при частичной финансовой поддержке партнерского интеграционного проекта № 100 СО РАН, проекта ОНЗ РАН №3.1 и гранта РФФИ № 12-05-01057а с использованием оборудования ЦКП ГГИ СО РАН.

В последние годы в связи с активным развитием теории волн маятникового типа в напряженных геосредах блочно-иерархического строения [1 – 4] стало формироваться новое направление исследований, относящееся к очаговым зонам катастрофических событий (землетрясений, горных ударов и др.) – «геомеханическая термодинамика» [5]. В известном смысле это аналог классической термодинамике, если вместо отдельных молекул вещества геоматериалов будем рассматривать их большие кластеры (от субмолекулярных до макроблоков), учитывая возможность колебательных (поступательных и вращательных) движений последних в приближении абсолютно твердых тел. Этот «постулат» лежит в феноменологических основах теории волн маятникового типа, вещественными носителями которых являются структурные элементы горных пород и их массивов разного иерархического уровня [6].

В работах [7, 8] впервые предложена механическая модель «самонапряженных» массивов горных пород, где механические условия взаимодействия между структурными элементами горных пород в стесненных условиях заменены нелинейными «пружинками» разного иерархического уровня по типу вложения одного в другой (согласно концепции М.А.Садовского) [9]. Эта механическая модель позволила объяснить наблюдаемые в эксперименте [10] очень важные особенности эволюции гармонических акустических сигналов при нагружении блочных сред с цилиндрической полостью (моделирующей «концентратор» напряжений или будущую «очаговую» зону), такие как:

1) существование устойчивой корреляционной связи между стадиями нагружения среды со структурой и амплитудно-частотными характеристиками гармонических сигналов, регистрируемых в составных блоках модели геосреды;

2) частоты резонансных акустических колебаний в блоках модели, существенно разнящиеся между собой на начальных этапах ее нагружения, проявляют конвергенцию друг к другу на стадии предразрушения;

3) на стадии предразрушения блочной модели геосреды имеет место не только схождение резонансных частот по системе составляющих ее геоблоков, но и усиление амплитуды гармонических сигналов за счет перехода накопленной упругой потенциальной энергии структурными элементами в колебательную (кинетическую) энергию излучения акустических волн с нарушением классического закона затухания гармонических сигналов от источников их излучения.

*По существу, впервые экспериментально установлено, что моделируемая «очаговая зона» будущего разрушения способна эволюционировать в акустически активную геосреду, работающую на критических уровнях нагружения как автоколебательная или своеобразная «геомеханическая лазерная система».* В отличие от классических оптических лазерных систем, однако, она не является монохроматической (!), акустический спектр излучения приобретает дискретно-каноническую форму:

$$f_i = f_0 (\sqrt{2})^i, \quad i = 0, \pm 1, \pm 2, \dots; \quad f_0 = V_p / (2\Delta), \quad V_p - \text{скорость продольной волны в геоматериалах структурных блоков диаметра } \Delta.$$

Важно отметить и то, что в [11] представлена первая простейшая модель для описания условий возникновения канонического спектра акустических волн в предположении о том, что жесткость взаимодействия между структурными блоками («пружинок») является нелинейной функцией их относительных смещений.

1. *Макро- и микродеформационные процессы в образцах искусственных геоматериалов при двухосном нагружении до разрушения.* Ранее в работе [12] выполнены эксперименты на образцах горных пород, обладающих структурной неоднородностью, по изучению особенностей распределения и эволюции напряженно-деформированного состояния на микроуровне по рабочим поверхностям породных образцов с помощью метода спекл-фотографий в процессе одноосного нагружения до разрушения.

При этом было установлено, что:

1) при одноосном нагружении призматических образцов песчаника, мрамора и сильвинита (на прессовой установке Instron 8802 в режиме жесткого нагружения со скоростями перемещения подвижного захвата 0,02–0,2 мм/мин) при определенном уровне напряжений возникают низкочастотные процессы внутреннего микродеформирования, генерируемые медленными (квазистатическими) силовыми воздействиями;

2) амплитуда таких деформационно-волновых процессов существенно зависит от уровня макронагружения:

- на стадии упругого деформирования, когда напряжение в образце геоматериала не превышает 0,5 предела прочности, колебания компонент микродеформаций практически отсутствуют;

- на стадии нелинейно упругого деформирования, при напряжениях в диапазоне от 0,5 до 1 от предела прочности, амплитуды колебаний микродеформаций существенно возрастают, включая ниспадающую стадию; частота колебаний микродеформаций составляет  $f=0,5\div4$  Гц;

- на стадии остаточной прочности амплитуды колебаний компонент микродеформаций резко уменьшаются (в 3 – 5) раз относительно таковых на предыдущих стадиях;

3) в элементах сканируемой поверхности породного образца, покрывающих область с будущей трещиной, амплитуды скоростей микродеформации  $\dot{\epsilon}_y$  превышают аналогичные для областей поверхности неразрушенного геоматериала в несколько раз. В ряде случаев имеет место тенденция значительного роста скорости деформирования с увеличением нагрузки.

Цель данной работы – определить влияние вида нагружения на особенности развития деформационных процессов в искусственных геоматериалах вплоть до пиковой нагрузки.

Материал искусственных образцов представлял собой алебастр с водой состава: 60 % алебастра, 35 % воды и 5 % клея “Neolit” по весу; включения представляли собой шарики диаметра 3 – 4 мм из отожженного в несколько этапов диоксида кремния (силикогеля) с добавками. Для включений предел прочности при сжатии составляет 10,6 МПа; предел прочности связующего материала при осевом сжатии составляет 5,4 МПа; при двухосном сжатии – 10,5 МПа (в экспериментах на двухосное сжатие  $\sigma_2 = \text{const} = \sigma_{\text{пр}}$ , где  $\sigma_{\text{пр}}$  – предел прочности материала). Призматические образцы имели размеры 60×60×11 мм (рис. 1).

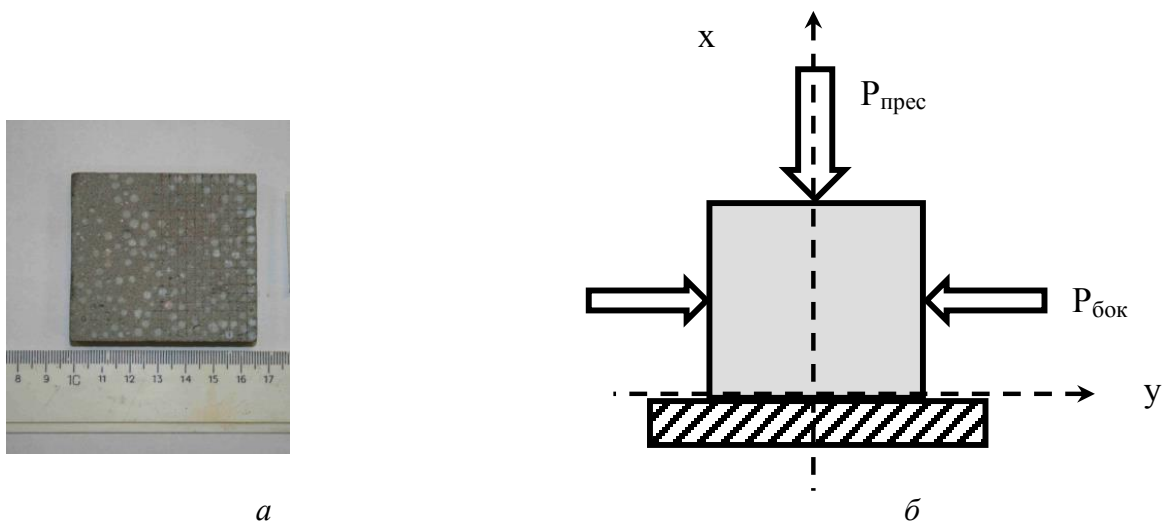


Рис. 1 – Образец искусственного материала для испытаний – *a*, схема нагружения – *б*

Испытания образцов геоматериалов проводились на сервогидравлическом прессе Instron-8802, позволяющем задавать программы нагружения с заданной скоростью по усилиям и по перемещениям. Для реализации двухосного нагружения использовалось специальное устройство, позволяющее создавать дополнительно, независимо от пресса, боковую нагрузку на призматический образец. В эксперименте непрерывно регистрировались и записывались в компьютерный файл усилия бокового поджатия образца, перемещение траверсы пресса и усилие, создаваемое прессом. Максимальное усилие задавалось прессом с фиксированной скоростью перемещения траверсы пресса 1 мм/мин. Для регистрации микродеформаций на рабочей поверхности призматического образца использовалась автоматизированная система анализа цифровых спектральных фотографий AL-MEC-tv [13].

Проведена серия экспериментов при одноосном и двухосном жестком сжатии (до разрушения) призматических образцов из искусственных геоматериалов. Соответствующие результаты «макродеформирования» приведены на рис. 2.

Сравнительный анализ процессов микродеформирования в образце был выполнен для сканируемых областей различных размеров: 1 – области с возникшими впоследствии разрушениями, 2 – области неразрушенного материала. Размеры исследуемых областей варьировались в пределах от 0,1 до 0,5 размера сканируемой поверхности (рис. 3). Ниже анализируются характерные результаты обработки экспериментальных данных при двухосном сжатии.

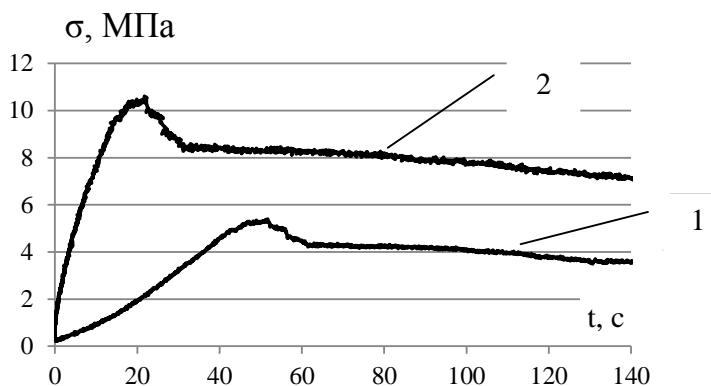


Рис. 2 – Диаграммы напряжение – деформация при одноосном (1) и двухосном сжатии (2);  
время возникновения трещины  $t = 130$  с при одноосном нагружении,  
 $t = 140$  с при двухосном нагружении

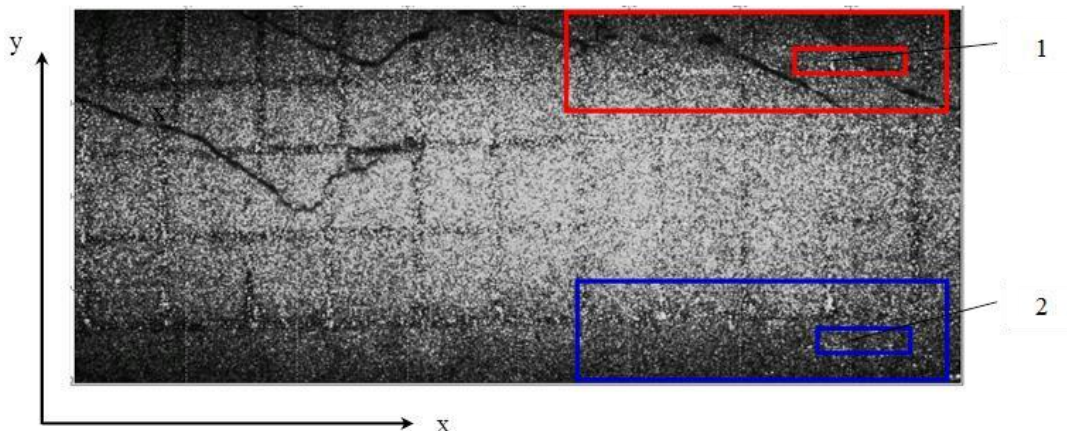


Рис. 3 – Сканируемая поверхность образца в эксперименте на двухосное сжатие после разрушения (момент времени  $t = 140$  с):  
1 – области поверхности с возникшими впоследствии разрушениями,  
2 – области неразрушенного материала

Размер области наблюдения спекл-методом составлял  $35 \times 15$  мм. На рабочей поверхности породного образца выделялись прямоугольные участки (см. рис. 3), составляющие от 1/4 до 1/8 площади области сканирования, для которых рассчитывались суммарные значения компонент микродеформаций в продольном ( $x$ ), поперечном ( $y$ ) и сдвиговом ( $xy$ ) направлениях –  $\varepsilon_x$ ,  $\varepsilon_y$  и  $\varepsilon_{xy}$ , соответственно. На рис. 4 приведены графики суммарных микродеформаций (красным цветом – для области с разрушением 1, синим – неразрушенной области 2 поверхности образца, черным цветом показана зависимость напряжения от времени в процессе нагружения образца до предела прочности включительно в безразмерных координатах  $P/P_{\text{пр}}$  и  $t/t_{\text{пр}}$ , где  $t/t_{\text{пр}}=1$  отвечает пиковой нагрузке ( $P/P_{\text{пр}} = 1$ ).

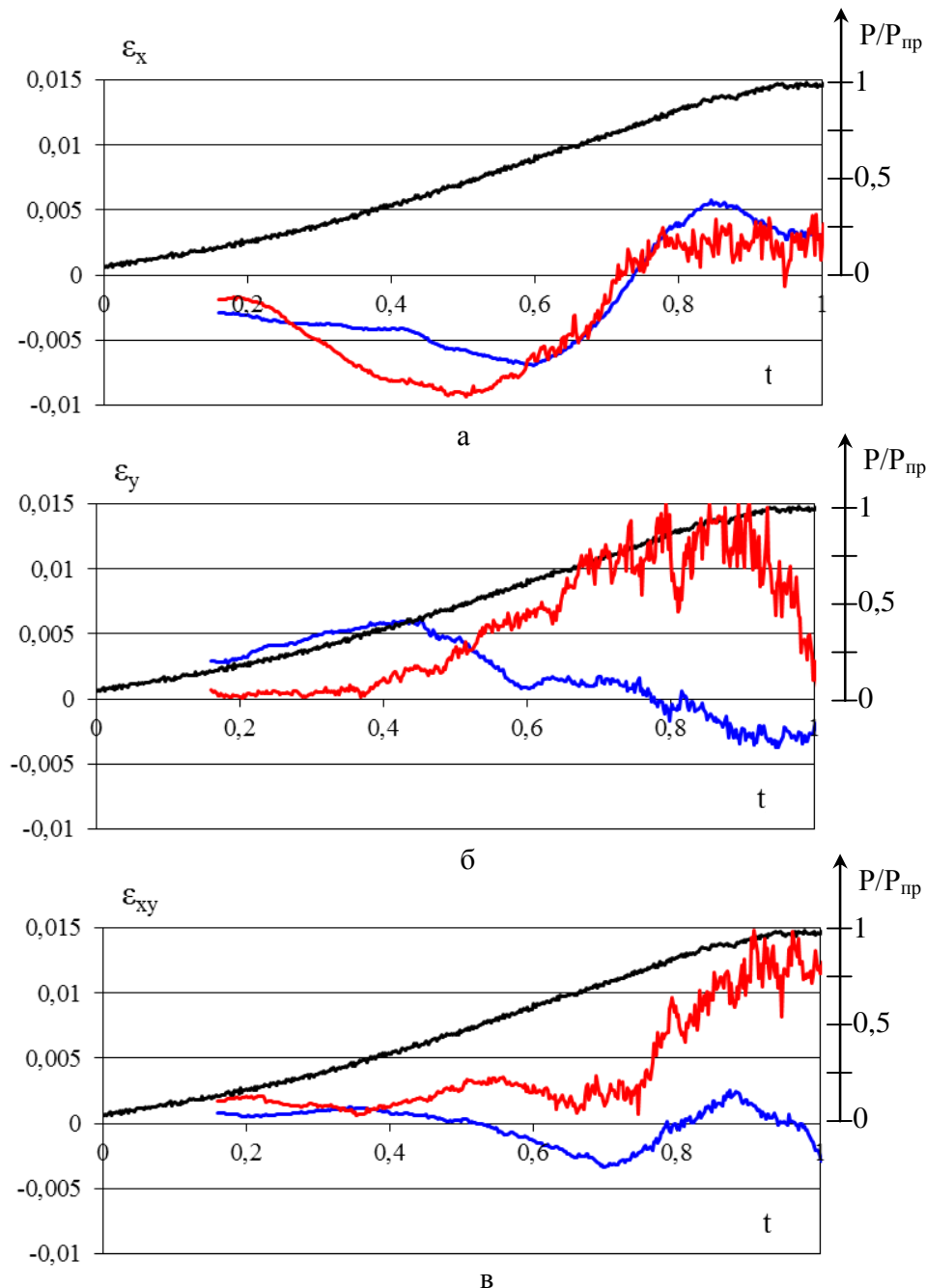


Рис. 4 – Зависимости микродеформаций  $\varepsilon_x$ ,  $\varepsilon_y$  и  $\varepsilon_{xy}$  во времени в безразмерных координатах  $t/t_{\text{пр}}$ ,  $P/P_{\text{пр}}$  для эксперимента на двухосное нагружение образца из искусственного геоматериала: красная линия – область 1 (будущего разрушения); синяя линия – область 2 (неразрушенного материала)

На приведенных графиках можно отметить следующие особенности в поведении компонент микродеформаций:

- микродеформации  $\varepsilon_x$  в областях 1 и 2 имеют практически одинаковые значения вплоть до достижения предела прочности;
- микродеформации  $\varepsilon_y$  в областях 1 и 2 изменяются практически в противофазе, особенно от значений  $t/t_{\text{пр}} = 0,5$ , и имеют значительные различия по величине;
- зависимости микродеформаций  $\varepsilon_{xy}$  в областях 1 и 2, начиная от  $t/t_{\text{пр}} = 0,4$ , ведут себя существенно синфазно. Однако различие в их абсолютных значениях увеличивается до предела прочности: при  $P/P_{\text{пр}} = 1$  в области 2  $\varepsilon_{xy} = -0,1$ , а в области 1  $\varepsilon_{xy} = 0,5$ ;
- при значениях  $t/t_{\text{пр}} \in 0,5 \div 0,6$  по всем компонентам деформаций возникают высокочастотные колебания, которые в области разрушения 2 имеют значительно более высокую амплитуду, чем в области 1.

Для оценки деформационно-волнового поведения геоматериалов внутри искусственных образцов в виде «суммы» вклада элементов сканируемых поверхностей с разнонаправленными (синфазными и антифазными) колебаниями, как и в работе [12], нами применен энергетический подход. В основе такого подхода для общей оценки деформационно-волновых процессов лежит сканирующая функция  $R$ , которая, являясь аналогом понятию «центра масс» в классической механике, описывает способ определения приведенного центра сеймоэнерговыделения за заданный период времени в пределах определенного объема массива горных пород.

Для данных экспериментов координаты  $R$  и, соответственно, траектория движения приведенного центра деформационного энерговыделения вычисляется по формулам:

$$R = \sum_{i=1}^N r_i \varepsilon_i / \sum_{i=1}^N \varepsilon_i , \quad (1)$$

$$r_i = \sqrt{(x_i - x_0)^2 + (y_i - y_0)^2}, \quad (2)$$

где  $\varepsilon_i$  – деформация в точке  $r_i$ ;

$x_0, y_0$  – начало системы координат (принят геометрический центр рабочей поверхности образца,

$N$  – количество измерительных точек на рабочей поверхности образца; суммирование ведется на фиксированный момент времени  $t_i$  (кадр  $i$ ) с известным значением нагрузки  $P$ .

На рис. 5 приведены полученные в результате графики сканирующих функций  $R_x(t)$ ,  $R_y(t)$  и  $R_{xy}(t)$  по (1) отдельно по каждой из компонент деформаций ( $\varepsilon_x, \varepsilon_y, \varepsilon_{xy}$ ), соответственно, в процессе нагружения породного образца до предела прочности включительно в безразмерных координатах  $P/P_{\text{пр}}$  и  $t/t_{\text{пр}}$ , где  $t_{\text{пр}}$  отвечает пиковой нагрузке ( $P/P_{\text{пр}} = 1$ ). В расчетах использовались безразмерные координаты  $[r_i / r_{\text{max}} \in (-0,5 \div 0,5)]$ , где  $r_{\text{max}}$  – максимальный размер  $r_i$  в продольном направлении образца. Из приведенных графиков можно отметить следующие особенности поведения  $R_x(t)$ ,  $R_y(t)$  и  $R_{xy}(t)$ :

- функция  $R_x(t)$  в областях поверхности 1 и 2 до значений  $t/t_{\text{пр}} = 0,65$  практически не изменяет свое начальное значение. Однако при  $t/t_{\text{пр}} = 0,65 \div 0,70$  наблюдаются довольно резкие ее знакопеременные изменения. Колебательный процесс для  $R_x(t)$  сохраняется до предела прочности, причем амплитуда колебаний  $R_x(t)$  в области 1 существенно превышает аналогичную в области 2;
- функция  $R_y(t)$  для области 1 резко изменяет свое начальное значение при  $t/t_{\text{пр}} = 0,19 \div 0,4$ , после чего принимает постоянное значение; а для области 2 колебательные изменения  $R_y(t)$  возникают при  $t/t_{\text{пр}} = 0,60 \div 0,87$ , с последующим убыванием;
- функция  $R_{xy}(t)$  в области 1 сохраняет практически постоянные значения, за исключением интервала  $t/t_{\text{пр}} = 0,60 \div 0,73$ ; в области 2 она имеет колебательный характер с возрастающей амплитудой до предела прочности.

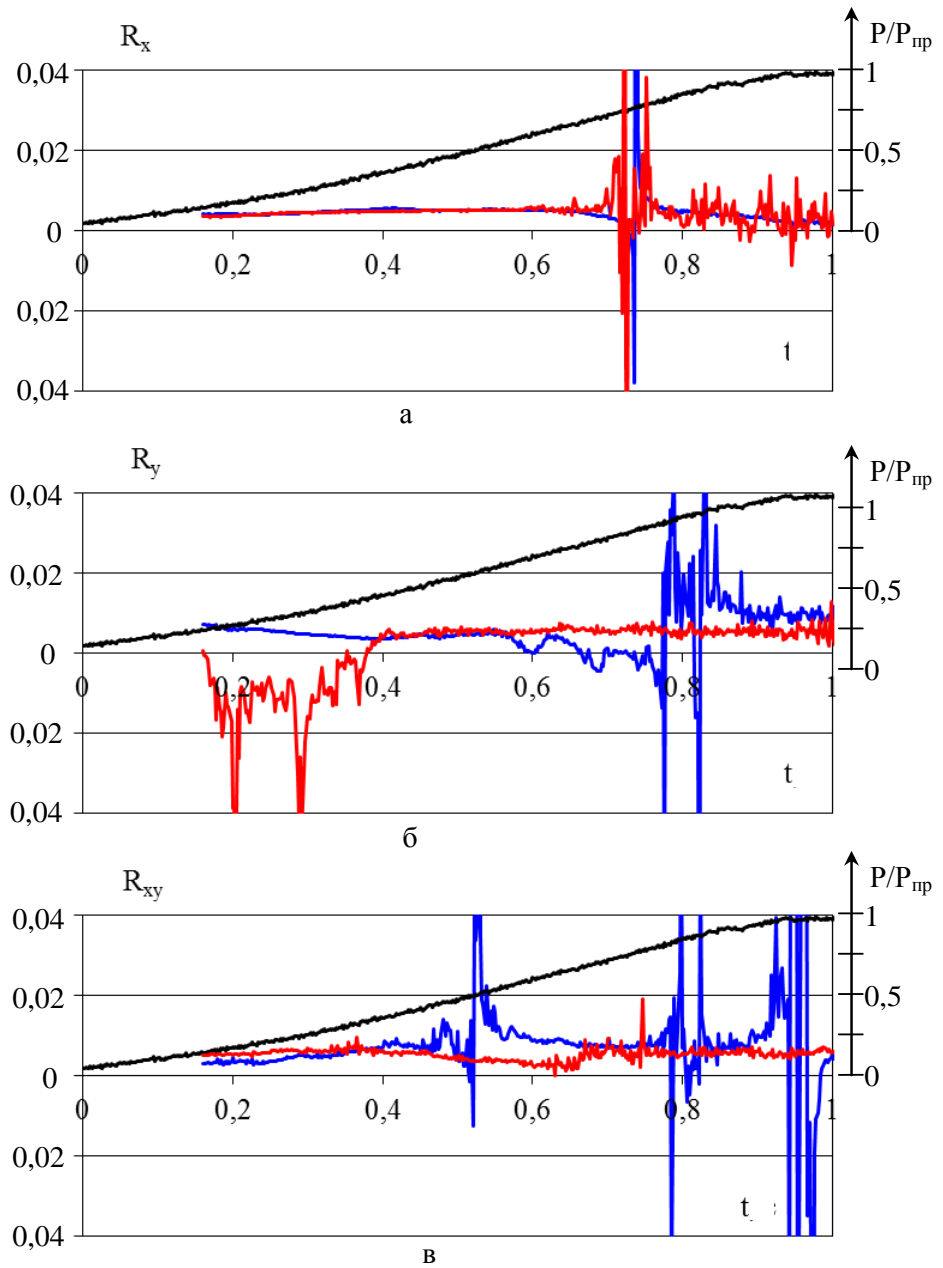


Рис. 5 – Поведение компонент сканирующей функции  $R_x(t)$ ,  $R_y(t)$  и  $R_{xy}(t)$  для микродеформаций  $\varepsilon_x$ ,  $\varepsilon_y$  и  $\varepsilon_{xy}$  во времени в безразмерных координатах  $t/t_{np}$ ,  $P/P_{np}$  для эксперимента на двухосное нагружение образца из искусственного геоматериала:  
 красная линия – область I (будущего разрушения);  
 синяя линия – область 2 (неразрушенного материала)

На основании анализа поведения функций  $\varepsilon_x$ ,  $\varepsilon_y$ ,  $\varepsilon_{xy}$ ,  $R_x(t)$ ,  $R_y(t)$  и  $R_{xy}(t)$  можно отметить следующие признаки, предшествующие разрушению образца геоматериала:

- компоненты одноименной деформации в области с разрушением и без него существенно отличаются по своим значениям (для данного эксперимента – это микродеформации  $\varepsilon_y$ ,  $\varepsilon_{xy}$ );
- амплитуда колебаний компонент деформации в области разрушения значительно превышает аналогичную в неразрушенной области, что свидетельствует о более высокой скорости деформации и изменения вида деформированного состояния в будущей области разрушения (это наблюдается также для микродеформаций  $\varepsilon_y$ ,  $\varepsilon_{xy}$ );

– сканирующие функции  $R$  (1) имеют колебательный характер, что свидетельствует о неоднородности внутреннего деформированного состояния геоматериала, однако по мере достижения пиковой нагрузки ( $t/t_{\text{пр}}=1$ ) и далее перед началом образования трещины ( $t/t_{\text{пр}}=1,5$ ) они принимают постоянное значение (это ее компоненты  $R_y(t)$ ,  $R_{xy}(t)$ ). Такой характер поведения компонент сканирующей функции  $R_y(t)$ ,  $R_{xy}(t)$  в сочетании с возрастающими значениями соответствующих компонент микродеформаций  $\varepsilon_y$ ,  $\varepsilon_{xy}$  и амплитуды их колебаний свидетельствует о процессе локализации максимальных значений деформаций и сужении размера области, в которой они сосредоточены.

На основании вышеизложенного можно сделать заключение о том, что за разрушение отвечают в основном деформации  $\varepsilon_y$  и  $\varepsilon_{xy}$ . Причем по этим характеристикам диагностируется вполне определенная область образования будущего макроразрушения. На рис. 6 приведена фотография поверхности образца геоматериала, который был разрушен на «запредельном» участке нагружения – при  $t/t_{\text{пр}}=1,3$ . Образовавшаяся трещина скола имеет сложную ступенчатую поверхность и образует углы 20 – 40° с направлением « $x$ » действия осевой силы, составляя комбинацию из микротрещин в направлениях деформаций  $\varepsilon_y$  и  $\varepsilon_{xy}$ .

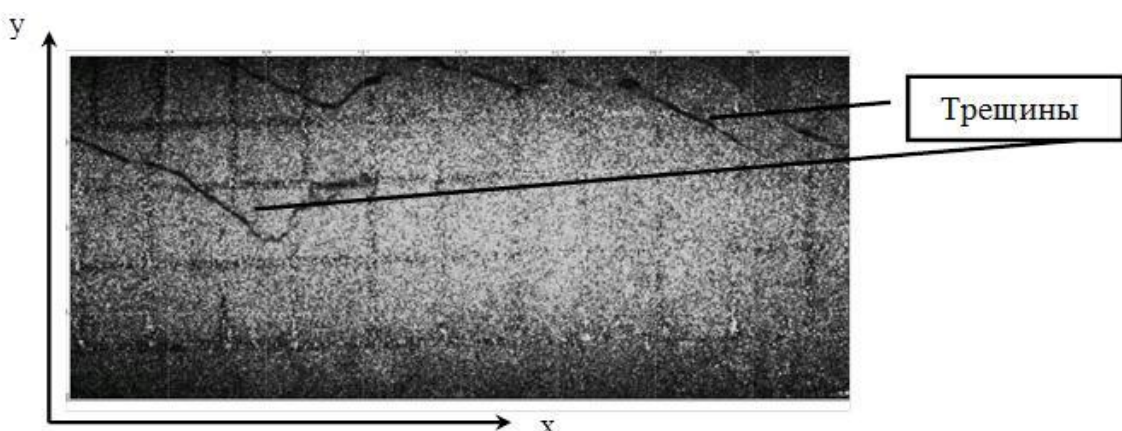


Рис. 6 – Фотография поверхности образца искусственного материала после его разрушения при двухосном сжатии, время нагружения  $t/t_{\text{пр}}=1,3$

*2. Испытание образца из искусственного геоматериала при одноосном нагружении до разрушения.* Для сравнения результатов рассмотренного выше случая проведен эксперимент на одноосное сжатие образца из искусственного геоматериала. На основании отмеченных признаков (критериев) также попытаемся по характеру изменения во времени компонент микродеформации  $\varepsilon_x$ ,  $\varepsilon_y$  и  $\varepsilon_{xy}$ , а также компонент сканирующей функции  $R$  (1) –  $R_x(t)$ ,  $R_y(t)$  и  $R_{xy}(t)$  оценить вид будущего разрушения.

Для данного вида нагружения образца из искусственного геоматериала графики изменения компоненты микродеформации  $\varepsilon_x$  в областях 1 и 2 сканируемой поверхности образца (рис. 7, а) практически совпадают между собой в пределах погрешности эксперимента. Соответствующая им компонента сканирующей функции  $R_x(t)$  для областей поверхности 1 и 2 (рис. 8, а) также изменяется подобным образом и совпадает для сравниваемых областей до значений  $t/t_{\text{пр}}=0,8$ ; далее появляются высокочастотные колебания деформаций вплоть до предела прочности  $t/t_{\text{пр}}=1$ .

Весьма контрастно для сравниваемых областей 1 и 2 отличается поведение компонент микродеформаций  $\varepsilon_y$  (см. рис. 7, б). Они изменяются практически в противофазе. При  $t/t_{\text{пр}} \sim 1$  их значения отличаются более чем в 10 раз (от 0,002 до 0,02). Амплитуда высокочастотных колебаний  $\varepsilon_y$  существенно выше, чем у компонент  $\varepsilon_x$ ,  $\varepsilon_{xy}$ .

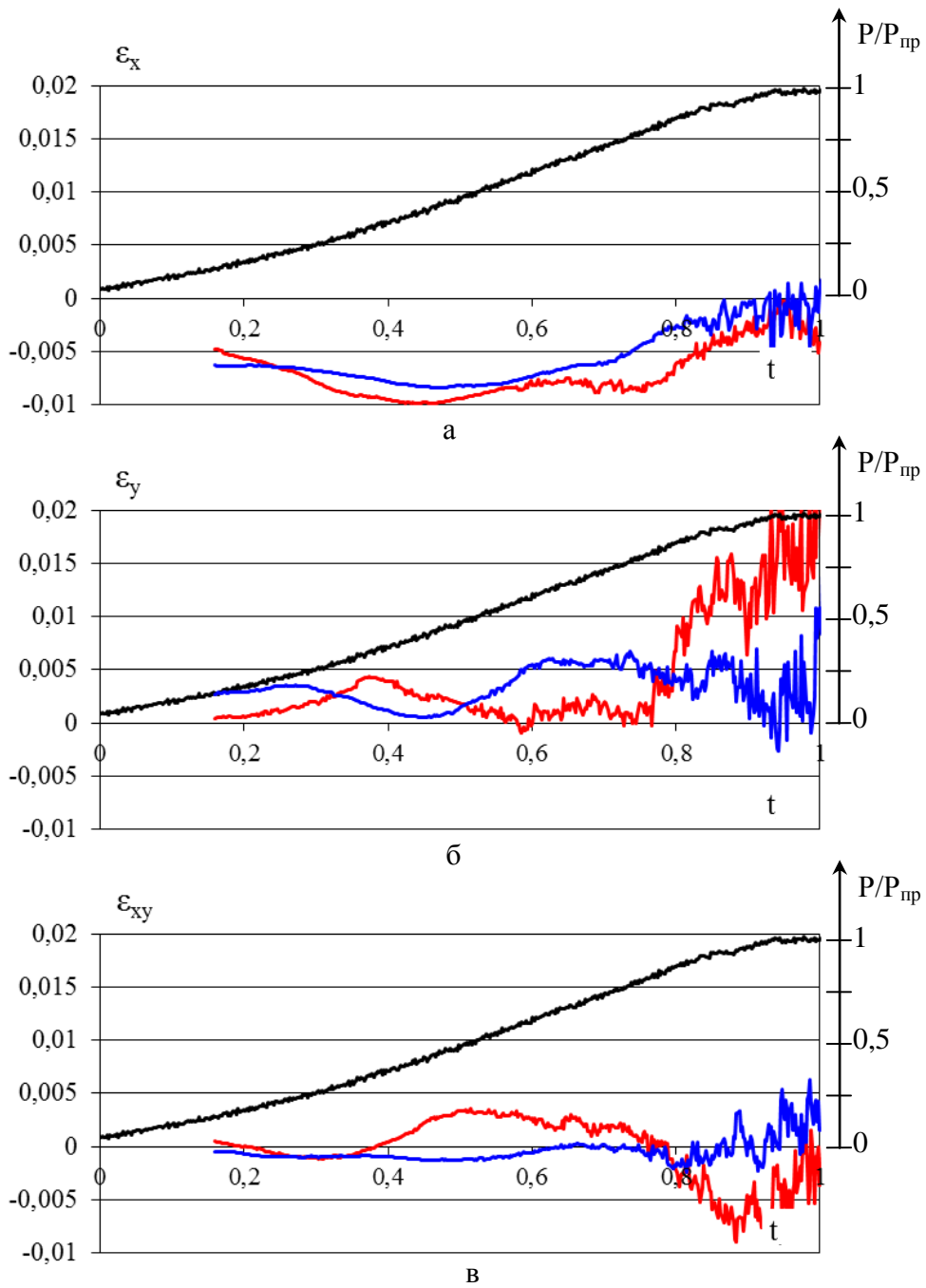


Рис. 7 – Зависимости микродеформаций  $\varepsilon_x$ ,  $\varepsilon_y$  и  $\varepsilon_{xy}$  во времени в безразмерных координатах  $t/t_{pp}$ ,  $P/P_{pp}$  для эксперимента на двухосное нагружение образца из искусственного геоматериала:  
 красная линия – область 1 (будущего разрушения);  
 синяя линия – область 2 (неразрушенного материала)

По функции  $R_y(t)$  в области 2 (см. рис. 8, б) наблюдаются высокочастотные колебания вплоть до предела прочности, в то время для области 1 при значениях  $t/t_{pp}=0,8\div 1$  она принимает постоянное значение.

Для компоненты микродеформаций  $\varepsilon_{xy}$  (см. рис. 7, в) имеются существенные различия в ее поведении для областей 1 и 2 (противофазность). Однако по абсолютной величине они уменьшаются по мере нагружения до предела прочности. Компонента сканирующей функции  $R_{xy}(t)$  в областях 1 и 2 (см. рис. 8, в) также имеет колебательный характер, но ее значения для сравниваемых областей резко отличаются по своей структуре (амплитудно-периодному спектру) при  $t/t_{pp}>0,4$ .

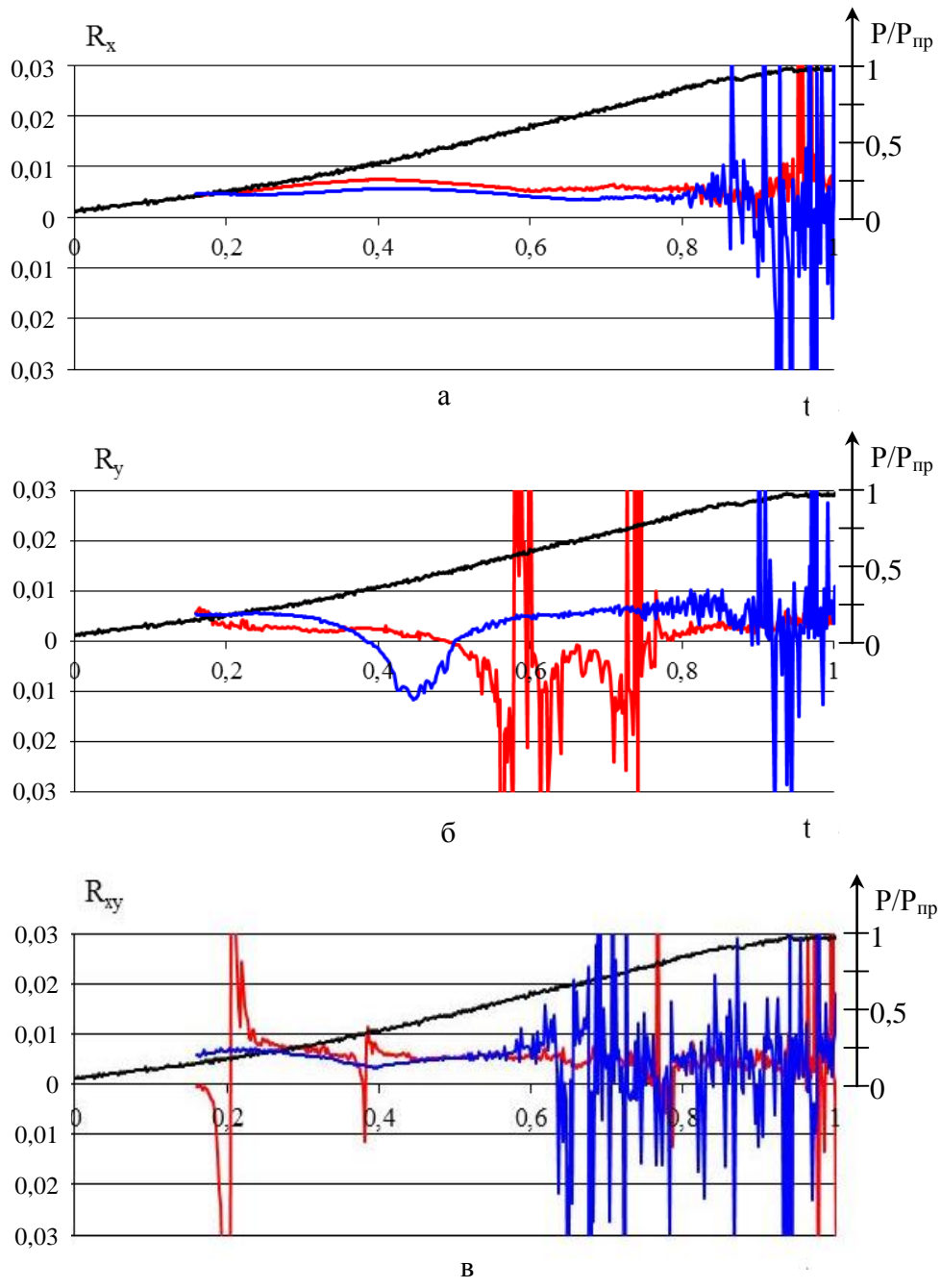


Рис. 8 – Поведение компонент сканирующей функции  $R_x(t)$ ,  $R_y(t)$  и  $R_{xy}(t)$  для микродеформаций  $\varepsilon_x$ ,  $\varepsilon_y$  и  $\varepsilon_{xy}$  во времени в безразмерных координатах  $t/t_{\text{пр}}$ ,  $P/P_{\text{пр}}$  для эксперимента на двухосное нагружение образца из искусственного геоматериала:  
 красная линия – область 1 (будущего разрушения);  
 синяя линия – область 2 (неразрушенного материала)

Отмеченные особенности поведения деформационных микрохарактеристик свидетельствуют о том, что наиболее «опасным» по разрушению является направление  $y$  – вдоль него наблюдаются более высокие значения микродеформаций  $\varepsilon_y$  и скоростей их изменения. Стабилизация компоненты  $R_y(t)$  указывает на процесс сужения зоны их локализации. Поэтому можно ожидать, что макроразрушение обусловливает компонента  $\varepsilon_y$ . Действительно, на фотографии сканируемой поверхности образца геоматериала (рис. 9) видно, что трещина образовалась преимущественно в направлении  $y$  по компоненте деформации  $\varepsilon_y$  при  $t/t_{\text{пр}} = 1,3$ .

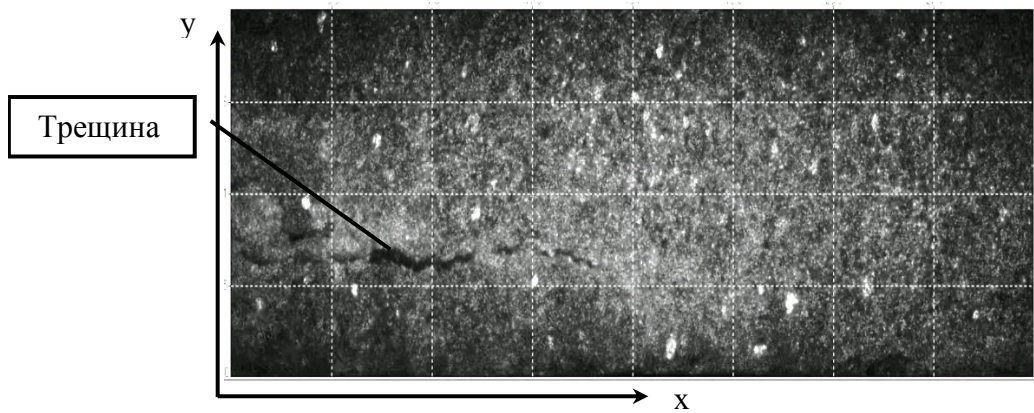


Рис. 9 – Фотография поверхности образца из искусственного геоматериала после его разрушения при одноосном сжатии, время эксперимента  $t/t_{\text{пп}}=1,3$

Выполненное экспериментальное исследование на образцах из искусственных геоматериалов при их двухосном и одноосном нагружении позволило установить особенности в поведении компонент микродеформаций  $\varepsilon_x$ ,  $\varepsilon_y$  и  $\varepsilon_{xy}$  и соответствующих им компонент сканирующей функции (1) –  $R_x(t)$ ,  $R_y(t)$  и  $R_{xy}(t)$  (в продольном, поперечном и сдвиговом направлениях, соответственно). Отмеченные особенности можно использовать как диагностические параметры для определения времени, места расположения и вида участка формирующейся основной трещины макроразрушения (либо зоны трещиноватости).

Отметим, что в работах [14, 15] представлены общие закономерности для процессов локализации деформаций на стадии предразрушения образцов горных пород типа сильвинита, мрамора и песчаника, где активно использовался метод спекл-фотографий. Здесь также особо отмечен «автоволновой» характер развития пластической деформации при сжатии горных пород, а скорость распространения «автоволн» оценивается величинами порядка  $10^{-5} \div 10^{-4}$  м/с.

**3. Энергетические особенности накопления упругих деформаций и развития деформационных процессов.** Для оценки общих особенностей накопления упругой энергии деформации и развития деформационных процессов внутри нагружаемых образцов горных пород применена сканирующая функция  $R_E$ .

$$R_E = \sum_{i=1}^N r_i E_i / \sum_{i=1}^N E_i , \quad E_i = \varepsilon_{xi} \sigma_x + \varepsilon_{yi} \sigma_y , \quad r_i = \sqrt{(x_i - x_0)^2 + (y_i - y_0)^2} , \quad (3)$$

где  $\varepsilon_i$  – деформация в точке  $r_i$  ( $x_i$ ,  $y_i$ ),

$x_0$ ,  $y_0$  – начало системы координат (геометрический центр рабочей поверхности образца);

$N$  – количество измерительных точек на рабочей поверхности образца, суммирование ведется на фиксированный момент времени  $t_i$  (кадр  $i$ ) с известным значением нагрузки  $P$ ;

$\sigma_x$  и  $\sigma_y$  – главные компоненты напряжения в направлении максимальной нагрузки и боковом, соответственно, которые считаются постоянными для любого значения  $r_i$  в каждый отдельный момент времени.

На рис. 10 приведены значения функции  $R_E$ , определенные при одноосном и двухосном нагружении: красная линия – область 1 (будущего разрушения); синяя линия – область 2 (неразрушенного материала).

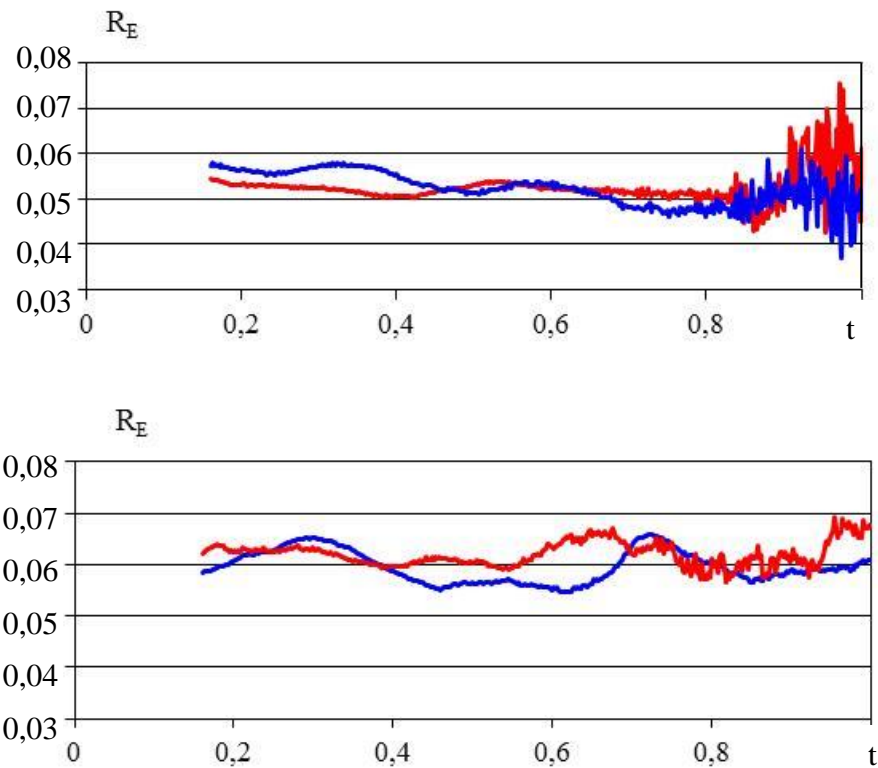


Рис. 10 – Поведение сканирующих функций  $R_E(t)$  времени в безразмерных координатах  $t/t_{\text{пр}}, P/P_{\text{пр}}$  для эксперимента на одноосное (а) двухосное (б) нагружение образца из искусственного геоматериала:  
красная линия – область 1 (будущего разрушения);  
синяя линия – область 2 (неразрушенного материала)

Общий анализ структуры приведенных здесь графиков позволяет отметить:

- как при одноосном, так и при двухосном нагружении образцов геоматериалов значения функции  $R_E$  имеют колебательный характер от момента  $t/t_{\text{пр}} = 0,2$  и до  $t = 1$ , причем колебания в выделенных областях 1 и 2 происходят практически в противофазе;
- при одноосном сжатии для значений  $t/t_{\text{пр}} = 0,75 \div 0,80$  появляются более высокочастотные колебания и сохраняются до  $t/t_{\text{пр}} = 1$ ;
- при двухосном сжатии высокочастотные колебания появляются при значениях  $t/t_{\text{пр}} = 0,75 \div 0,80$  и сохраняются до  $t/t_{\text{пр}} = 1$  только в зоне 1 с будущим разрушением, в зоне 2 неразрушенного материала такие колебания имеют существенно более низкую амплитуду;
- амплитуды высокочастотных колебаний сканирующих функций  $R_E$  при одноосном сжатии превышают аналогичные при двухосном сжатии, что логично связывается со стесненными условиями деформирования образца геоматериала в поперечном направлении при соответствующем виде испытания;
- при одноосном сжатии не наблюдаются существенные различия по амплитуде сканирующих функций в областях 1 и 2 для  $t/t_{\text{пр}} > 0,85 \div 0,90$ .

Выше были определены признаки формирования зоны разрушения: 1 – более высокие значения компоненты микродеформации и скорости ее изменения, чем в зоне неразрушенного материала; 2 – стабилизация значений сканирующей функции, соответствующей данной компоненте микродеформации. В случае одноосного сжатия макроразрушение произошло по компоненте  $\varepsilon_y$ . Но именно она не была учтена в формуле (2) при вычислении функции  $R_E$ , так как напряжение  $\sigma_2 = 0$ .

Кроме того надо отметить, что как при одноосном, так и при двухосном нагружении образца геоматериала поле микродеформаций было существенно неоднородным, компоненты микродеформации  $\varepsilon_x$ ,  $\varepsilon_y$ ,  $\varepsilon_{xy}$  в отдельных малых фрагментах (0,5 – 1 мм) сканируемой поверхности принимали как положительные, так и отрицательные значения. При вычислении в (1) сканирующих функций  $R_x(t)$ ,  $R_y(t)$ ,  $R_{xy}(t)$  знаки компонент микродеформаций были учтены, тогда как в (2) при расчете  $R_E$  все значения  $\varepsilon_x$ ,  $\varepsilon_y$  считались положительными. Можно заключить, что сканирующие функции  $R_x(t)$ ,  $R_y(t)$ ,  $R_{xy}(t)$ , вычисленные по компонентам микродеформаций  $\varepsilon_x$ ,  $\varepsilon_y$ ,  $\varepsilon_{xy}$ , более тонко учитывают изменение микродеформированного состояния в точках сканируемой поверхности.

#### *Выводы и заключение*

Выполненный комплекс экспериментальных исследований на образцах из искусственных неоднородных геоматериалов, обладающих структурной неоднородностью в виде включений, позволил детально исследовать особенности распределения и эволюцию их напряженно-деформированного состояния на микроуровне по рабочим поверхностям породных образцов с помощью спекл-метода в процессе одноосного и двухосного нагружения до разрушения.

В рамках экспериментального исследования волновых процессов в блочно-иерархических геосредах (при испытаниях на одноосное и двухосное сжатие призматических образцов геоматериалов) подтвержден ранее обнаруженный эффект возникновения низкочастотных процессов микродеформирования, генерируемых медленными (квазистатическими) силовыми воздействиями.

Для оценки деформационно-волнового поведения геоматериалов внутри образцов горных пород как «суммы» вклада элементов сканируемых поверхностей с разнонаправленными (синфазными и антифазными) колебаниями применен энергетический подход. В основе энергетического подхода общей оценки деформационно-волновых процессов лежит сканирующая функция  $R$ , которая является аналогом понятию «центра масс» в классической механике и описывает известный способ определения приведенного центра сейсмоэнерговыделения за заданный период времени в пределах заданного объема массива горных пород.

Определены особенности поведения сканирующих функций для компонент деформаций  $\varepsilon_x$ ,  $\varepsilon_y$  и  $\varepsilon_{xy}$  (в продольном, поперечном и сдвиговом направлениях образца геоматериала, соответственно) в процессе нагружения до разрушения, что можно использовать как диагностический параметр для определения места расположения участка формирующейся основной трещины макроразрушения.

Данная информация представляет непосредственный практический интерес для ее применения в новых мониторинговых системах геомеханико-геодинамической безопасности горных предприятий на основе комплексного использования сейсмо-деформационной информации.

## Литература

1. Адушкин В.В. От явления знакопеременной реакции горных пород на динамические воздействия – к волнам маятникового типа в напряженных геосредах. Ч. I / В.В. Адушкин, В.Н. Опарин // Физико-техн. проблемы разработки полезных ископаемых. – 2012. – № 2. – С. 3 – 27.
2. Адушкин В.В. От явления знакопеременной реакции горных пород на динамические воздействия – к волнам маятникового типа в напряженных геосредах . Ч. II / В.В. Адушкин, В.Н. Опарин // Физико-техн. проблемы разработки полезных ископаемых. – 2013. – № 2.- С. 3 – 46.
3. Опарин В. Н. О нелинейных деформационно-волновых в виброволновых геотехнологиях освоения нефтегазовых месторождений / В.Н. Опарин, Б.Ф. Симонов// Физико-техн. проблемы разработки полезных ископаемых.– 2010. – № 2. – С. 3 – 25.
4. Садовский В.М. Математическое моделирование волн маятникового типа с применением высокопроизводительных вычислений / В.М. Садовский, О.В. Садовская, М.П. Варыгина // Нелинейные геомеханико-геодинамические процессы при отработке месторождений полезных ископаемых на больших глубинах:2-я Российско-Китайская научная конференция: сборник трудов. – Новосибирск, ИГД СО РАН, 2012.
5. Опарин В.Н. Волны маятникового типа и «геомеханическая температура»/ В.Н. Опарин // Нелинейные геомеханико-геодинамические процессы при отработке месторождений полезных ископаемых на больших глубинах: 2-а Российско-Китайская научная конференция:сборник трудов. – Новосибирск, ИГД СО РАН, 2012.
6. Курленя М.В. О формировании упругих волновых пакетов при импульсном возбуждении блочных сред. Волны маятникового типа  $V_\mu$  В.Н. Опарин, В.И. Востриков // ДАН. – 1993. –т. 333, № 4.
7. Курленя М.В. О явлениях знакопеременной реакции горных пород на динамические воздействия / М.В. Курленя, В.Н. Опарин // Физико-техн. проблемы разработки полезных ископаемых. – 1990. – № 4.- С. 3 – 13.
8. О некоторых особенностях реакции горных пород на взрывные воздействия в ближней зоне / М.В. Курленя, В.Н. Опарин, А.Ф. Ревуженко, Е.И. Шемякин //ДАН. – 1987. –т. 293, № 1.
9. Садовский М.А. Естественная кусковатость горной породы / М.А. Садовский //ДАН. – 1979. –т. 247, № 4.
10. О некоторых особенностях эволюции гармонических акустических сигналов при нагружении блочных сред с цилиндрической полостью / М.В. Курленя и др. // Физико-техн. проблемы разработки полезных ископаемых. – 1999. – № 6.- С. 10 – 32.
11. Геомеханические и технические основы увеличения нефедобычи пластов в виброволновых технологиях / В.Н. Опарин и др.– Новосибирск: Наука, 2010.
12. О некоторых особенностях эволюции напряженно-деформированного состояния образцов горных пород со структурой при одноосновнагружении/ В.Н. Опарин, О.М. Усольцева., В.Н. Семенов, П.А. Цой // Физико-техн. проблемы разработки полезных ископаемых. – 2013. – № 5. - С. 3-19.
13. Курленя М.В. Об одном методе сканирования шахтной сейсмологической информации / М.В. Курленя, В.Н. Опарин, А.А. Еременко // ДАН. – 1993. –т. 333, № 6.
14. Исследование генезиса и эволюции нарушений сплошности в геоматериалах: теория и лабораторный эксперимент / О.М. Усольцева и др. // Физико-техн. проблемы разработки полезных ископаемых. –2013. –№ 1.- С. 3-10.
15. Локализация деформаций и возможность прогнозирования разрушения горных пород / Л.Б. Зуев, С.А. Баранникова, М.В. Надежкин, В.В. Горбатенко // Физико-техн. проблемы разработки полезных ископаемых. –2014. –№ 1. – С. 49 – 56.